



РОССИЙСКОЕ АГЕНТСТВО
ПО ПАТЕНТАМ И ТОВАРНЫМ ЗНАКАМ

(19) RU⁽¹¹⁾ 2 131 214⁽¹³⁾ C1
(51) МПК⁶ A 61 B 5/0476

(12) ОПИСАНИЕ ИЗОБРЕТЕНИЯ К ПАТЕНТУ

(21), (22) Заявка: 96100536/14, 17.01.1996

(46) Опубликовано: 10.06.1999

(56) Список документов, цитированных в отчете о поиске: Лебедева Н.Н., Добронравова И.С. Организация ритмов ЭЭГ человека при особых состояниях сознания. Журн. высшей нервной деятельности им. И.П.Павлова. - Наука, 1990, 40, 5, с. 951 - 962.

Адрес для переписки:
103051, Москва, Петровский б-р 8 Директору
НИИ ТМЛ МЗ и МП Кукесу В.Г.

(71) Заявитель(и):

Научно-исследовательский институт
традиционных методов лечения (народной
медицины) государственный

(72) Автор(ы):

Кукес В.Г.,
Коекина О.И.

(73) Патентообладатель(ли):

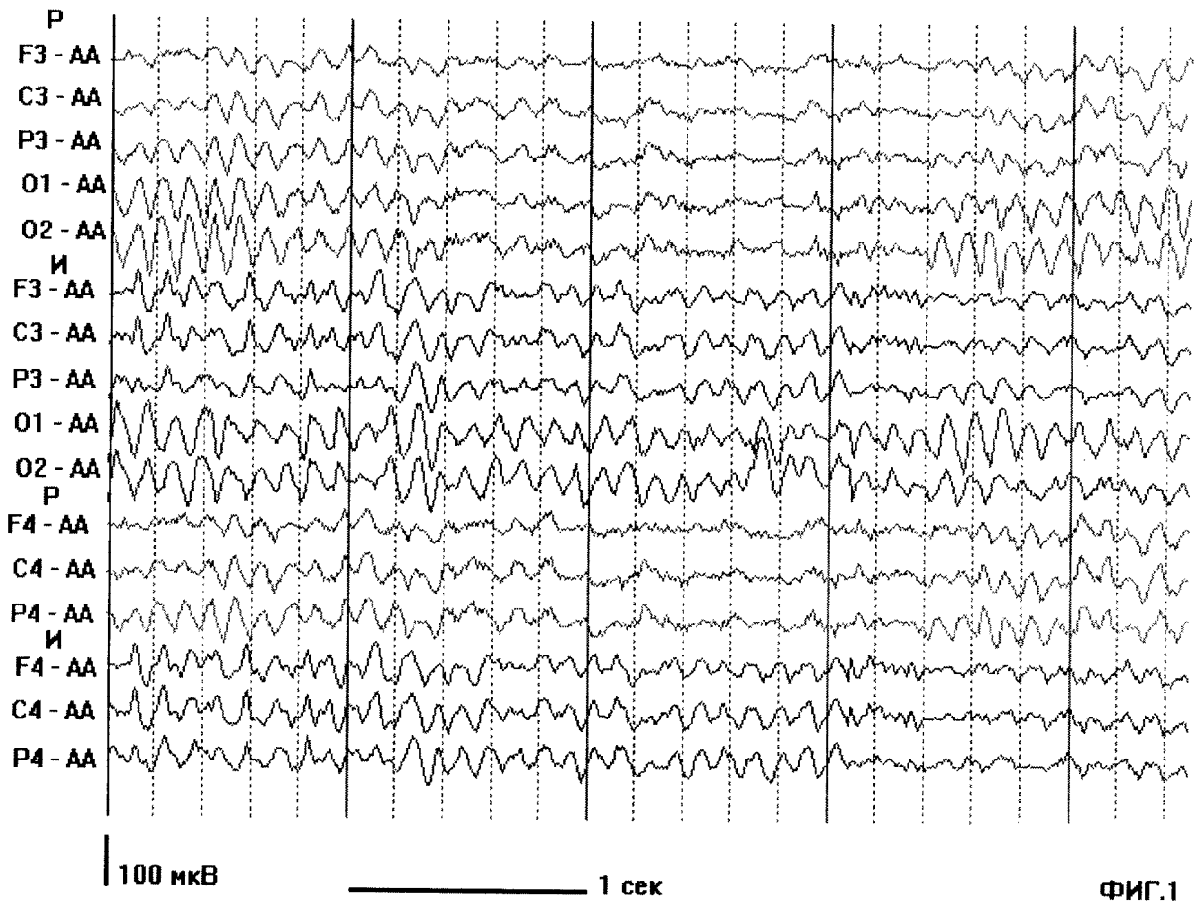
Научно-исследовательский институт
традиционных методов лечения (народной
медицины) государственный

(54) СПОСОБ ОПРЕДЕЛЕНИЯ БИОЭНЕРГОИНФОРМАЦИОННОЙ СВЯЗИ МЕЖДУ ИНДУКТОРОМ И РЕЦИПИЕНТОМ ПРИ ТЕСТИРОВАНИИ ЭКСТРАСЕНСОРНЫХ СПОСОБНОСТЕЙ СЕНСИТИВА-ЦЕЛИТЕЛЯ

(57) Реферат:

Изобретение относится к области медицины, нейрофизиологии и психофизиологии. Проводят многоканальную регистрацию энцефалограммы у индуктора и реципиента с момента подачи синхросигнала. Совмещают полученные данные с точностью 0,25-0,5 минимального периода колебаний биопотенциалов. Регистрацию проводят в режиме биоэнергоинформационной настройки индуктора на реципиента, в режиме диагностики и воздействия - биокоррекции. Данные регистрации энцефалограммы делят на равные временные отрезки продолжительностью 1-10 с. В каждом временном отрезке выполняют частотную фильтрацию с шагом 0,1-1,0 Гц. На всех временных отрезках определяют коэффициент кросскорреляции между отфильтрованными частотами каждого канала записи мозга индуктора и реципиента. При наличии противофазной связи на шаге спектра шириной 0,1-10 Гц в области альфаритма 8-13 Гц определяют готовность к

настройке между индуктором и реципиентом. Затем выделяют доминирующие связи между различными областями мозга индуктора и реципиента в режиме настройки, диагностики и воздействия-коррекции. При наличии синфазных связей на шаге спектра шириной 0,1-1,0 Гц в области бета-ритма 14-30 Гц между лобно-центрными областями головного мозга индуктора и областями мозга реципиента определяют биоэнергоинформационные связи в режиме диагностики. По наличию синфазных связей на шаге спектра шириной 0,1-10 Гц в области дельта- и тета-ритма 1-7 Гц между лобными и центральными областями мозга индуктора и затылочными областями мозга реципиента определяют биоэнергоинформационные связи при воздействии-коррекции и судят о наличии экстрасенсорных способностей сенситива-целителя. Способ позволяет повысить достоверность определения наличия биоэнергоинформационной связи. 5 ил.



RU 2 1 3 1 2 1 4 C 1

RU 2 1 3 1 2 1 4 C 1



RUSSIAN AGENCY
FOR PATENTS AND TRADEMARKS

(19) **RU** (11) **2 131 214** (13) **C1**
(51) Int. Cl.⁶ **A 61 B 5/0476**

(12) **ABSTRACT OF INVENTION**

(21), (22) Application: **96100536/14, 17.01.1996**

(46) Date of publication: **10.06.1999**

Mail address:

**103051, Moskva, Petrovskij b-r 8 Direktoru
NII TML MZ i MP Kukesu V.G.**

(71) Applicant(s):

**Nauchno-issledovatel'skij institut
traditsionnykh metodov lechenija (narodnoj
meditsiny) gosudarstvennyj**

(72) Inventor(s):

**Kukes V.G.,
Koekina O.I.**

(73) Proprietor(s):

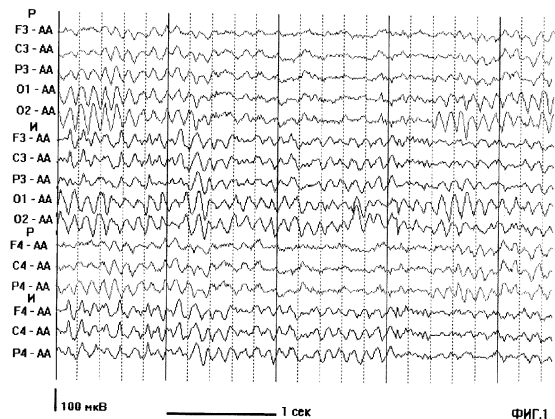
**Nauchno-issledovatel'skij institut
traditsionnykh metodov lechenija (narodnoj
meditsiny) gosudarstvennyj**

(54) **METHOD FOR DETERMINING BIOENERGETIC INFORMATION LINKS BINDING INDUCTOR AND RECIPIENT IN TESTING EXTRASENSORIC ABILITIES OF SENSORIC TYPE HEALER**

(57) Abstract:

FIELD: medicine. SUBSTANCE: method involves recording multichannel encephalogram taken from inductor and recipient beginning from the moment the synchronization signal is emitted. The received data are superimposed at 0.25-0.5 biopotential oscillation period minimum accuracy level. Recording is carried out in the bioenergetic information adjustment mode to set inductor in correspondence to the recipient and also in diagnosing and biocorrection influence mode. Recorded encephalogram data are divided into different time intervals of 1-10 s duration. Every time interval is subjected to frequency filtration with 0.1-1 Hz step. Cross-correlation coefficient between filtered frequencies of each inductor and recipient brain recording channel. Link in antiphase at frequency spectrum step of 0.1-1 Hz width in 8-13 Hz alpha-rhythm bandwidth being observed, adjustment readiness is determined to take place between the inductor and recipient. Then dominant links between various areas of the inductor and recipient brain are to be selected in tuning, diagnosing and correction influence mode. Synphasing link at frequency spectrum step of 0.1-1 Hz width in 14-30 Hz beta-rhythm bandwidth being observed between frontal central regions of the inductor brain and regions

of the recipient brain being detected, bioenergetic information links in diagnosing mode are determined. Synphasing link at frequency spectrum step of 0.1-1 Hz width in 1-7 Hz delta- and theta-rhythm bandwidth between frontal central regions of the inductor brain and occipital regions of the recipient brain being detected, bioenergetic information links in correction influence mode and extrasensoric abilities of sensorial healer are determined, respectively. EFFECT: enhanced accuracy in reliably determining existence of bioenergetic information links. 5 dwg



RU 2 1 3 1 2 1 4 C 1

RU 2 1 3 1 2 1 4 C 1

Изобретение относится к области медицины, нейрофизиологии и психофизиологии и может быть использовано для тестирования биоэнергоинформационного взаимодействия между сенсорно-разобщенными субъектами, например для тестирования способностей сенситивов-целителей, подбора и оценки их совместимости с пациентами, а также подбора лиц и оценки их взаимодействия внутри ограниченных коллективов.

Известен способ определения состояния биоэлектрических процессов головного мозга, включающий измерение биопотенциалов путем многоканальной регистрации электроэнцефалограммы (ЭЭГ) в стандартных точках отведения с поверхности головы в диапазоне частот дельта, тета-, альфа-, бета-ритмов /1/.

Данный способ позволяет определить процессы головного мозга по состоянию биопотенциалов головы одного субъекта - пациента, но при этом не учитывается внешний фактор воздействия со стороны другого субъекта - целителя.

Известен прототип - способ определения биоэнергоинформационной связи-воздействия между сенсорно-разобщенными субъектами, включающий многоканальную регистрацию ЭЭГ целителя, выступающего в качестве индуктора, в процессе диагностики и воздействия на пациента (реципиента). При этом регистрацию ЭЭГ проводят путем отведения биопотенциалов мозга с поверхности стандартных точек головы индуктора, и по частотным характеристикам биоритмов коры головного мозга индуктора судят об изменении его состояния сознания. На основании этого предполагают наличие экстрасенсорных способностей /2/.

Недостатком известного способа является то, что в процессе взаимодействия - биодиагностики и биокоррекции отсутствует одновременная регистрация биопотенциалов индуктора-целителя и реципиента-пациента, а также отсутствуют сведения о наличии корреляционной взаимосвязи на уровне биоритмов между отдельными областями коры головного мозга индуктора и реципиента, что, по сути, снижает достоверность суждения о наличии биоэнергоинформационной связи.

Основной задачей заявленного способа является повышение достоверности при определении биоэнергоинформационной связи между сенсорно-разобщенными субъектами (индуктором-целителем и пациентом-реципиентом) на этапах настройки, диагностики и воздействия-коррекции при тестирования экстрасенсорных способностей сенситива-целителя.

Поставленная задача решается тем, что определение биоэнергоинформационной связи между индуктором и реципиентом при тестировании экстрасенсорных способностей сенситива-целителя проводят на основе многоканальной регистрации ЭЭГ путем одновременного отведения биопотенциалов мозга с поверхности стандартных точек головы как индуктора, так и реципиента, и определения корреляционной связи биоритмов одного с биоритмами другого между отдельными областями коры головного мозга.

Регистрацию ЭЭГ у индуктора и реципиента начинают одновременно с момента подачи синхросигнала, затем совмещают по времени синхросигнала полученные данные с точностью 0,25 - 0,5 минимального периода колебаний биопотенциалов, при этом регистрацию проводят в режиме биоэнергоинформационной настройки индуктора-целителя на реципиента, в режиме диагностики и в режиме биоэнергоинформационного воздействия - коррекции, а полученные данные электроэнцефалограммы делят на равные временные отрезки продолжительностью 1 - 10 с, затем в каждом временном отрезке выполняют частотную фильтрацию с шагом 0,1 - 1,0 Гц, затем на всех временных отрезках определяют коэффициент кросскорреляции R между отфильтрованными частотами биопотенциалов каждого канала записи с головного мозга индуктора и каждого отфильтрованного в том же периоде времени и в той же частоте канала записи реципиента, при этом при положительном значении коэффициента кросскорреляции больше 0,6 ($R > 0,6$) устанавливают наличие синфазной связи между биоритмами соответствующих областей мозга индуктора и реципиента, а при отрицательном значении коэффициента больше -0,6 по модулю ($|R| > -0,6$) устанавливают наличие противофазной связи, затем по наличию противофазных связей в узкополосном спектре на шаге шириной

0,1 - 1,0 Гц в области альфа-ритма 8 - 13 Гц судят о готовности к настройке на взаимодействие между индуктором и реципиентом, затем выделяют доминирующие связи между различными областями мозга индуктора и реципиента в режиме биоэнергоинформационной настройки - диагностики и биоэнергоинформационного
 5 воздействия - коррекции, при этом по наличию синфазных связей в области узкополосных спектров на шаге шириной 0,1 - 1,0 Гц в области бетаритма в диапазоне 14 - 30 Гц между лобно-центрными областями коры головного мозга индуктора-целителя и областями мозга реципиента судят о биоэнергоинформационных связях в режиме
 10 диагностики, а по наличию синфазных связей в узкополосном спектре на шаге шириной 0,1 - 1,0 Гц в области дельта- и тета-ритма 1 - 7 Гц между лобными и центральными областями коры головного мозга индуктора и теменными и затылочными областями мозга реципиента судят о биоэнергоинформационных связях при воздействии-коррекции, и, соответственно, о наличии экстрасенсорных способностей сенситива-целителя.

Точность совмещения во времени данных регистрации индуктора и реципиента
 15 соответствует 0,25 - 0,5 минимального периода колебаний, определяемого на границе распределения спектра ЭЭГ в области высоких частот, обычно 24 - 32 Гц, которая обеспечивается техническими характеристиками большинства промышленных энцефалографов. Величина 0,25 - 0,5 продолжительности периода граничной частоты
 20 достаточна по теореме Котельникова для воспроизведения частот ЭЭГ в процессе преобразований Фурье, которые в дальнейшем применяются для частотной фильтрации биоритмов мозга.

Так, например, при граничной частоте 24 Гц точность совмещения лежит в пределах 10,4 - 20,8 мс, а при граничной частоте 32 Гц она лежит в пределах 7,8 - 15,6 мс.

После совмещения во времени начала регистрации ЭЭГ индуктора и реципиента делят
 25 период полученных данных на равные отрезки длительности 1 - 10 с. Длительность отрезков определяется временем концентрации внимания в процессе настройки индуктора на реципиента. Полученные отрезки подвергают частотной фильтрации с шагом 0,1 - 1,0 Г, при этом шаг выбирают с учетом максимального разрешения по частоте, определяемого техническими возможностями и допустимым математическим аппаратом.

30 $V_e - 1/T$, где V_e - максимальное разрешение по частоте, T - период времени анализируемой реализации-отрезка регистрации. /3/.

Согласно этому соотношению отрезки длительностью 1 с фильтруют с шагом с
 35 точностью до 1 Гц, а отрезки длительностью 10 с - с шагом с точностью до 0,1 Гц. Полученные после фильтрации отрезки ЭЭГ индуктора, представляющие собой периоды временного распределения биопотенциалов мозга в узкополосном спектре частот, сопоставляют с соответствующими по времени и частоте отрезками ЭЭГ реципиента и вычисляют коэффициенты кросскорреляции R по формуле

$$40 \quad R = \frac{\text{Sum}(F_i - m(F_i)) * (F_j - m(F_j))}{\sqrt{(\text{Sum}(F_i - m(F_i))^2) * (\text{Sum}(F_j - m(F_j))^2)}}$$

где F_i, F_j - сигналы ЭЭГ с i -го и j -го отведений;
 $m(F_i), m(F_j)$ - математическое ожидание сигналов;
 Sum - операциям суммирования.

При положительном значении коэффициента кросскорреляции $R > 0,6$ определяют
 45 наличие синфазной связи, соответственно при отрицательном значении коэффициента $R > 0,6$ определяют наличие противофазной связи.

В связи с тем, что период настройки индуктора на реципиента может зависеть не только от индивидуальных способностей индуктора, но также и от трудно учитываемых факторов природной и социальной среды на момент регистрации, период регистрации
 50 делают достаточно длительным. Последовательно проверяют временные отрезки, представляющие спектры биопотенциалов мозга с шагом 0,1 - 1 Гц в пределах частоты 8 - 13 Гц, на наличие противофазных связей между индуктором и реципиентом и определяют наступление периода настройки, затем переходят к определению доминирующих связей

между областями коры головного мозга индуктора и реципиента.

Доминирующие связи отдельных областей коры головного мозга индуктора с отдельными областями коры головного мозга реципиента выделяют по величине коэффициента кросскорреляции по модулю больше 0,6 ($|R| > \pm 0,6$) на каждом этапе - в режиме настройки, диагностики, и воздействия-коррекции по всему диапазону биопотенциалов альфа-, бета-, тета- и дельта-ритмов. При этом режимы взаимодействия (связи) задаются по заранее обусловленным между индуктором и наблюдателем командам, а каждый этап (режим) начинается с момента синхросигнала.

На фиг. 1 дан пример одновременной записи ЭЭГ индуктора (И) и реципиента (Р) в режиме настройки.

На фиг. 2 представлена диаграмма средних значений коэффициентов кросскорреляции между биоритмами индуктора и реципиента в режиме настройки - Н, диагностики - D, воздействия (био коррекции) - БК и пар контрольной группы - КОНТР.

На фиг. 3 представлены доминирующие связи между областями головного мозга индуктора и областями головного мозга реципиента в режиме настройки.

На фиг. 4 представлены доминирующие связи между областями головного мозга индуктора и областями головного мозга реципиента в режиме диагностики.

На фиг. 5 представлены доминирующие связи между областями головного мозга индуктора и областями головного мозга реципиента в режиме воздействия-коррекции.

Реализация способа осуществляется следующим образом.

Двое испытуемых (индуктор и реципиент) располагаются в разных помещениях, оборудованных для проведения электроэнцефалографии, с прикрепленными к голове электродами. Electroды испытуемых коммутируются с электроэнцефалографом. При этом используется стандартная международная схема отведений биопотенциалов с поверхности головы /4/. В процессе записи ЭЭГ используется 8-канальная система монополярных отведений (от лобных - F3, F4; центральных C3, C4; теменных - P3, P4; затылочных - O1, O2 левого и правого полушарий головного мозга). Для подключения индифферентных электродов объединяют пары ушных электродов индивидуально для индуктора и реципиента

Регистрация ЭЭГ проводится в течение нескольких этапов, соответствующих следующим режимам деятельности индуктора; настройки, диагностики и биоэнергоинформационного воздействия - коррекции. При этом биопотенциалы мозга с усилителей энцефалографа параллельно вводят в компьютер через аналого-цифровой преобразователь. Одновременно формируют крупные файлы в базе данных для каждого испытуемого. После совмещения по времени синхросигнала данных регистрации индуктора и реципиента формируют новые файлы, которые содержат в цифровой форме результаты параллельного съема биопотенциалов мозга пар испытуемых. После просмотра, проверки и исключения артефактов из этих крупных файлов создаются группы 8-секундных файлов с обозначением, соответствующими каждому периоду состояния. Длительность 8-секундной эпохи анализа соответствует общепринятой и обоснована рядом опубликованных работ /5, 6/.

В основе алгоритма получения спектральных характеристик ЭЭГ использован способ быстрого Фурье преобразования /7/. Помимо визуальной оценки полученных характеристик ЭЭГ осуществляют обработку данных по методу картирования с использованием спектрального (в пределах 0,125 - 32,0 Гц с дискретностью частоты 0,125 Гц) и кросскорреляционного видов анализа. Обработка заключается в сопоставлении кросскорреляционных связей по отдельным частотам биоэлектрической активности мозга, одновременно зарегистрированной у испытуемых. При этом биоэнергоинформационная связь определяется наличием математически выраженной кросскорреляционной зависимости с абсолютным значением коэффициента кросскорреляции выше 0,6 ($|R| > \pm 0,6$) между биопотенциалами мозга испытуемых. Значение величины коэффициента дает возможность оценить степень сочетанности изменений ЭЭГ и структуру биоэнергоинформационных связей при бесконтактном взаимодействии индуктора

и реципиента, а следовательно, и степень экстрасенсорных способностей сенситива-целителя (индуктора).

Пример одновременной регистрации ЭЭГ индуктора и реципиента изображен на фиг. 1. Под обозначением Р располагаются отведения ЭЭГ с точек головы реципиента, а под обозначением И - отведения ЭЭГ с точек головы индуктора (F3, F4) - лобные, С3, С4 - центральные, Р3, Р4 - теменные и О1, О2 - затылочные отведения). Уже визуально отмечается взаимосвязь между биоритмами индуктора и реципиента, которая характеризуется преимущественно противофазными отношениями колебаний альфа-ритма (в данном случае, на частоте 9-10 Гц). Распределение уровней синхронизации ЭЭГ пар испытуемых в процессе биоэнергоинформационного взаимодействия и в контрольных условиях представлены (фиг. 2) в виде диаграмм, отражающих средние величины коэффициентов кросскорреляции R по полученным данным на двух группах. В основную группу входили лица с предполагаемыми экстрасенсорными (парапсихологическими) способностями - 19 человек. Контрольную группу пар испытуемых составляли практически здоровые лица, не претендующие на экстрасенсорные способности - 10 человек. Регистрацию биоэлектрической активности мозга проводили каждый раз одновременно у двух лиц.

Режимы (этапы) настройки (Н), диагностики (Д) и воздействия-биокоррекции (БК) между испытуемыми характеризуются более высокими средними значениями коэффициентов кросскорреляции R, по сравнению с контрольной группой (КОНТР). При этом результаты обработки ЭЭГ пар контрольной группы не показали каких-либо значимых изменений во взаимосвязях биопотенциалов коры головного мозга после команды настройки, и средний коэффициент кросскорреляции по модулю $|R|$ был ниже 0,6 во всех частотных диапазонах.

На фиг. 3 показан результат обработки ЭЭГ, из которого следует, что в процессе настройки индуктора (целителя) на реципиента доминируют противофазные связи между лобными и центральными областями мозга индуктора и различными областями мозга реципиента в области альфа-ритма, что подтверждено отрицательной величиной коэффициента кросскорреляции ($|R| > -0,6$), определенному в узкополосном спектре, в данном примере, шириной 11 - 12 Гц. Это дает основание судить о готовности-настройке на взаимодействие. Результат обработки ЭЭГ в области бета-ритма в режиме диагностики показывает (см. фиг. 4), что доминируют синфазные связи ($R > 0,6$) между лобно-центральными областями мозга индуктора и отдельными областями мозга реципиента, в данном случае, 23-24 Гц, что дает возможность судить о наличии биоэнергоинформационной связи в режиме диагностики. В режиме воздействия индуктора-целителя на реципиента (см. фиг. 5) были выявлены доминирующие синфазные связи ($R > 0,6$) между лобными и центральными областями мозга индуктора и теменными и затылочными областями мозга реципиента в области тета-ритма в узкой полосе частот 5-6 Гц, это дает возможность судить о наличии биоэнергоинформационной связи при воздействии индуктора-целителя на реципиента, а соответственно, и о наличии экстрасенсорных способностей сенситива-целителя.

В процессе серии проведенных испытаний с основной группой, (19 пар), включающий индукторов-целителей, и с контрольной группой (10 пар) по результатам кросскорреляционного анализа парных записей ЭЭГ было установлено, что в контрольной группе пар не наблюдается статистически значимого взаимодействия между биоритмами мозга, то есть коэффициент кросскорреляции практически на всех режимах ниже 0,6 по модулю ($|R| < 0,6$) и колеблется в диапазоне 0,2 - 0,5.

В парах основной группы с участием индукторов-целителей (сенситивов) отмечалась у 17 пар статистически значимая связь между биоритмами мозга индуктора и реципиента. Причем, эта связь возникала как в фазе (синфазно), так и в противофазе основных альфа-, бета-, тета- и дельта-ритмов, то есть коэффициент кросскорреляции по модулю $|R|$ был выше 0,6. Что касается двух случаев пар из 19, то, вероятно, эти индукторы явно зависили свои экстрасенсорные способности.

При этом было установлено, что эти связи зависят от режима установки на работу

(настройку, диагностику, воздействие-биокоррекцию) и различаются как топографически (картографически) между областями мозга индуктора и областями мозга реципиента, так и по спектру биоритмов.

Использование стандартных приборов (датчиков, электроэнцефалографов),
 5 общепринятого математического аппаратов спектрального, кросскорреляционного и статистического анализов при соблюдении требуемых условий испытаний дают основание судить о том, что данный способ является достоверным и может быть использован для определения биоэнергоинформационной связи между индуктором и реципиентом при тестировании экстрасенсорных способностей сенситивов-целителей.

10 Что касается результатов воздействия сенситива-целителя на реципиента-пациента, то это не входит в решаемую задачу, так как задачей заявляемого способа является повышение достоверности и констатация факта наличия биоэнергоинформационной связи как таковой.

Источники информации

15 1. Способ оценки биоэлектрических потенциалов головного мозга. Патент РФ, А 61 В 5/04, 1995.

2. Лебедев Н. Н., Добронравова И. С. Организация ритмов ЭЭГ человека при особых состояниях сознания. Ж. высшей нервной деятельности им. И. П. Павлова. Наука, 1990 г., т. 40, вып. 5, с. 951-962.

20 3. Бендат Д., Пирсол А. Применения корреляционного и спектрального анализа. - М., 1983, с. 312.

4. Homan R. W., Herman J., Purdy P. Cerebral location of international 10-20 system electrode placement. EEG a. Clin. Neurophysiol., 1987, v. 66, pp. 376-382.

5. Sciarretta G., Ercuriani P. Introduction to EEG Spectral analysis, 1989, pp. 120.

25 6. Методика и техника психофизического эксперимента. М.: Наука, 1987 г., с. 104.

7. Cooley J.W., Tukey J.W. An Algorithm for the Machine Calculation of Complex Fourier Series. Mathematics of Computation, 1965, v. 19, N 90, p. 297.

Формула изобретения

30 Способ определения биоэнергоинформационной связи между индуктором и реципиентом при тестировании экстрасенсорных способностей сенситива-целителя, включающий многоканальную регистрацию электроэнцефалограммы путем отведения биопотенциалов мозга с поверхности стандартных точек головы и определение изменения
 35 состояния сознания по амплитудно-частотным характеристикам биоритмов коры головного мозга, отличающийся тем, что регистрацию электроэнцефалограммы одновременно у индуктора и реципиента начинают с момента подачи синхросигнала, затем совмещают по времени синхросигнала полученные данные с точностью 0,25 - 0,5 минимального периода колебаний биопотенциалов, при этом регистрацию проводят в режиме биоэнергоинформационной настройки индуктора-целителя на реципиента в режиме
 40 диагностики и в режиме биоэнергоинформационного воздействия - коррекции, а полученные данные электроэнцефалограммы делят на равные временные отрезки продолжительностью 1 - 10 с, затем в каждом временном отрезке выполняют частотную фильтрацию с шагом 0,1 - 1,0 Гц, затем на всех временных отрезках определяют коэффициент кросскорреляции R между отфильтрованными частотами биопотенциалов
 45 каждого канала записи с головного мозга индуктора и каждого отфильтрованного в том же периоде времени и в той же частоте канала записи биопотенциалов реципиента, при этом при положительном значении коэффициента кросскорреляции больше 0,6 ($R > 0,6$) устанавливают наличие синфазной связи между биоритмами соответствующих областей мозга индуктора и реципиента, а при отрицательном значении коэффициента больше
 50 минус 0,6 по модулю ($|R| > -0,6$) устанавливают наличие противофазной связи, затем по наличию противофазных связей в узкополосном спектре на шаге шириной 0,1 - 1,0 Гц в области альфа-ритма 8 - 13 Гц судят о готовности к настройке на взаимодействие между индуктором и реципиентом, затем выделяют доминирующие связи между различными

областями мозга индуктора и реципиента в режимах биоэнергоинформационной настройки, диагностики и биоэнергоинформационного воздействия-коррекции, при этом по наличию синфазных связей в области узкополосных спектров на шаге шириной 0,1 - 1,0 Гц в области бета-ритма в диапазоне 14 - 30 Гц между лобно-центрльными областями коры головного мозга индуктора-целителя и областями мозга реципиента судят о биоэнергоинформационных связях в режиме диагностики, а по наличию синфазных связей в узкополосном спектре на шаге шириной 0,1 - 1,0 Гц в области дельта- и тета-ритма 1 - 7 Гц между лобными и центрльными областями коры головного мозга индуктора и теменными и затылочными областями мозга реципиента судят о биоэнергоинформационных связях при воздействии-коррекции и, соответственно, о наличии экстрасенсорных способностей сенситива-целителя.

15

20

25

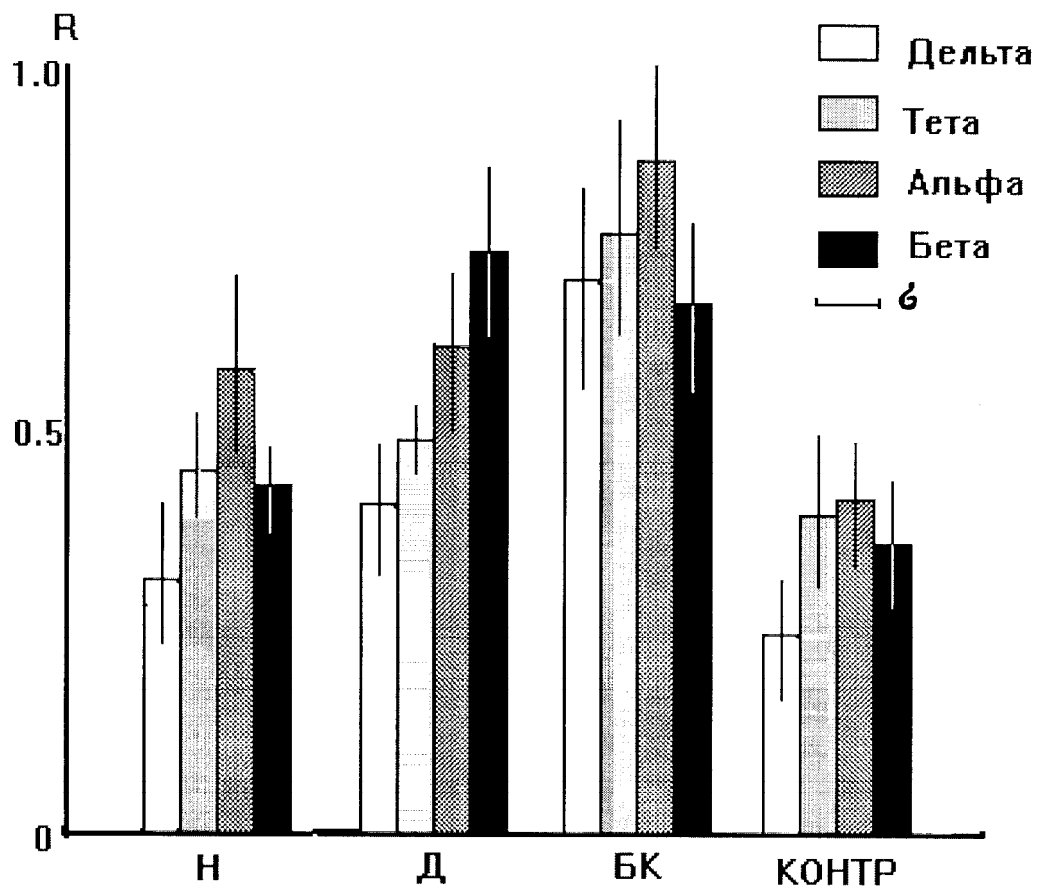
30

35

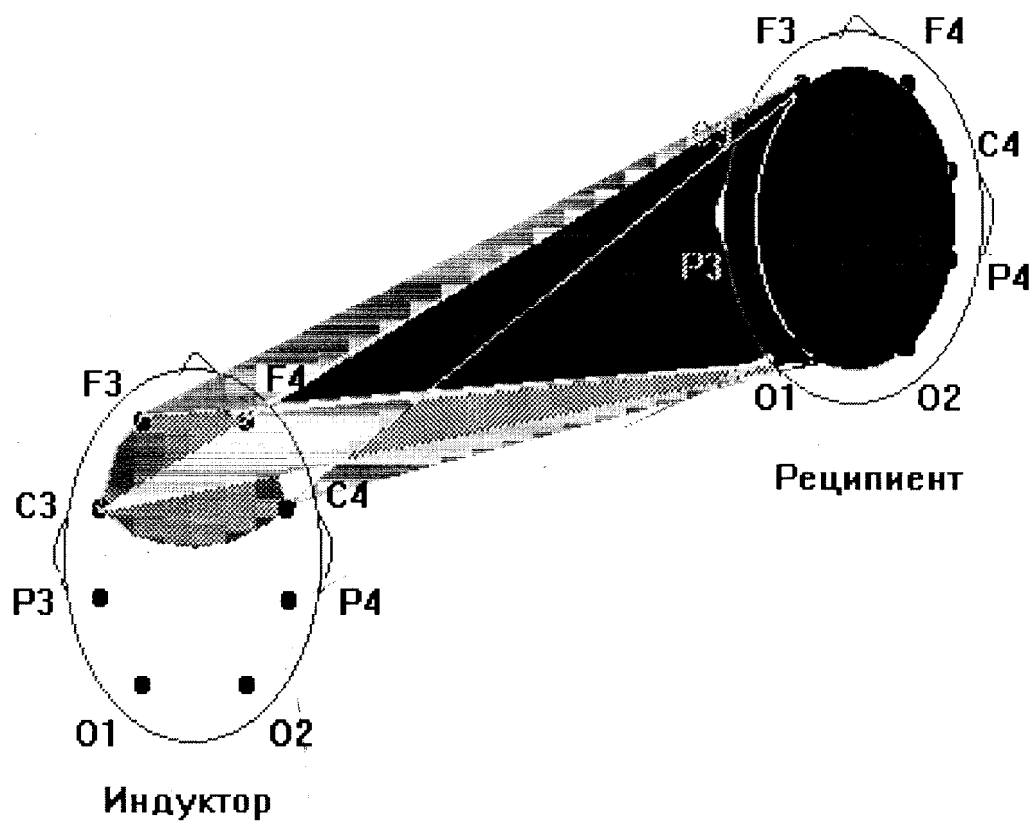
40

45

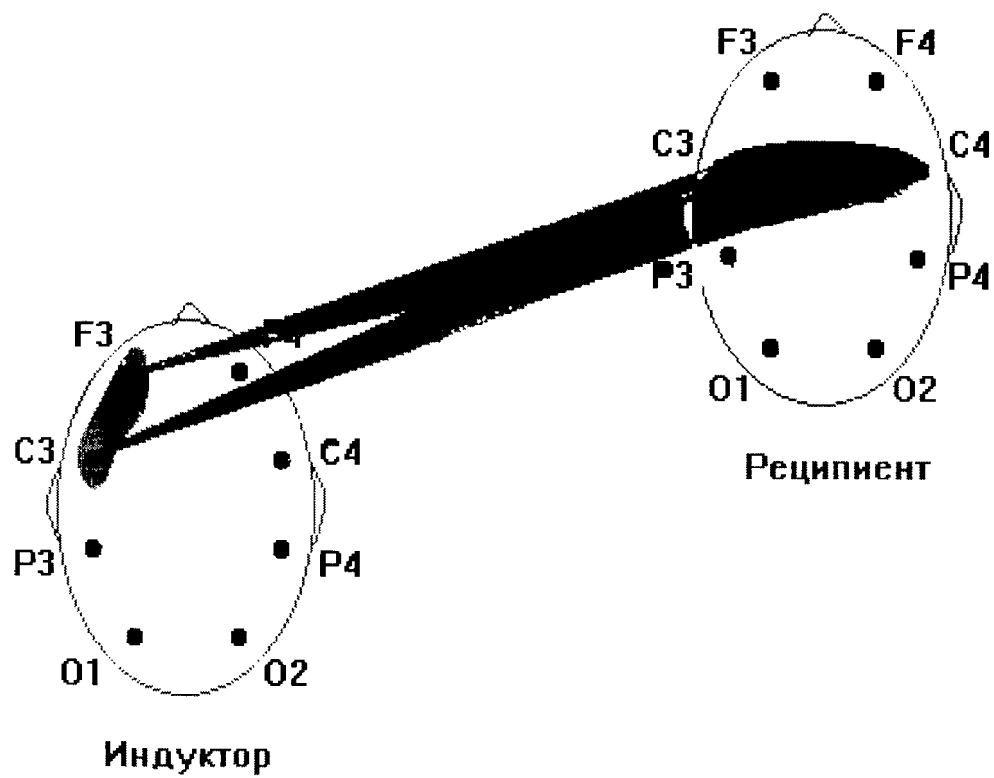
50



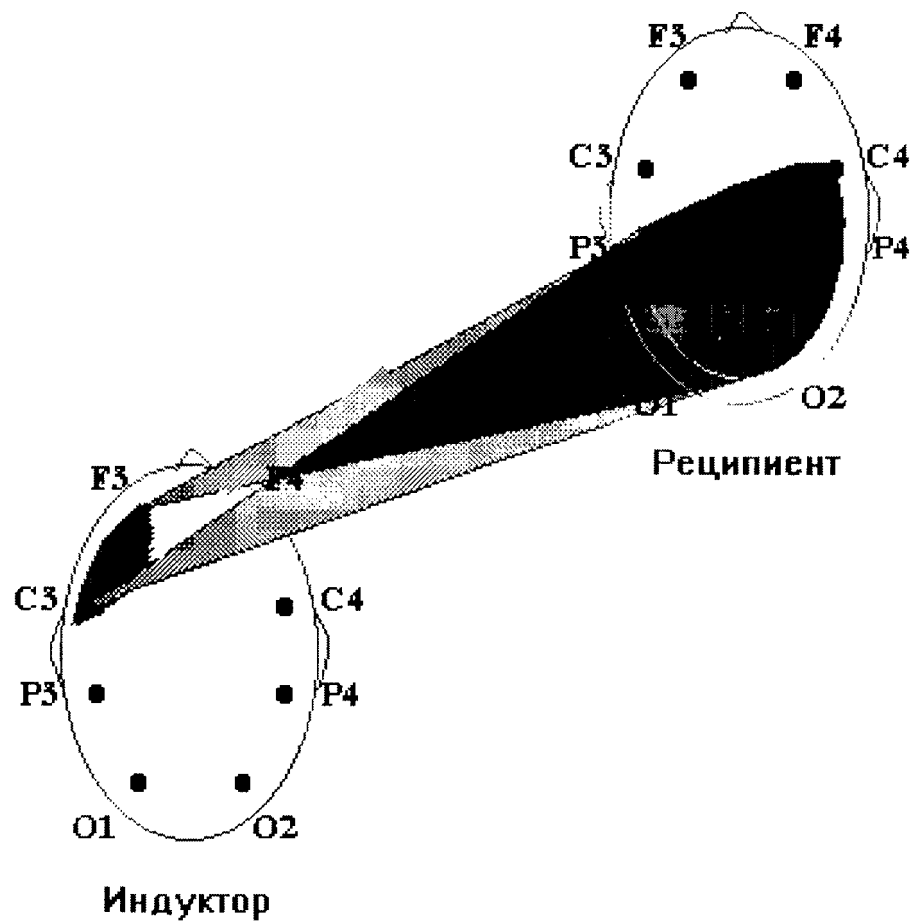
ФИГ. 2



ФИГ. 3



ФИГ. 4.



ФИГ. 5.